

УДК 548.737

**СТРУКТУРЫ СМЕШАННЫХ КРИСТАЛЛИЧЕСКИХ СИСТЕМ  
ПЕГАНОЛ—БРОМПЕГАНОЛ**

© 2007 А.Г. Тожибоев, Б. Ташходжаев\*, К.К. Тургунов, Н.И. Мукаррамов,  
Х.М. Шахидоятов

*Институт химии растительных веществ АН Республики Узбекистан, Ташкент*

*Статья поступила 10 мая 2006 г.*

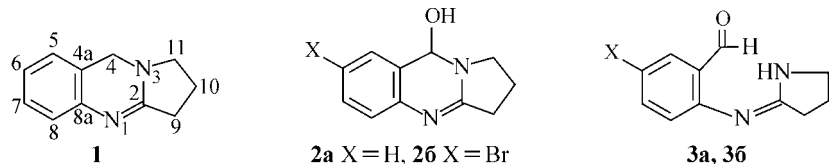
*С доработки — 26 октября 2006 г.*

Рентгеноструктурным анализом установлено строение смешанных кристаллов — твердых растворов системы пеганол—бромпеганол в соотношениях 0,72:0,28, 0,32:0,68, 0,10:0,90 и структура "чистого" пеганола. Показано, что твердые растворы (смешанные кристаллы) находятся в трех фазовых состояниях. Для этих кристаллических структур характерно образование центросимметричного замкнутого димера, состоящего из двух (возможно, разных) молекул и формирующегося "встречными" центросимметричными O—H...N(1) водородными связями. Формирование такого димера является причиной образования смешанных кристаллов из систем пеганол—бромпеганол.

**Ключевые слова:** смешанные кристаллы, хиназолины, рентгеноструктурный анализ.

#### ВВЕДЕНИЕ

Алкалоид пеганол (**2a**) выделен из растения *Peganium harmala* [1]. Позже он был синтезирован из другого алкалоида — дезоксипеганина (**1**) взаимодействием с N-бромсукцинидом с последующей обработкой едким натром или окислением перманганатом калия [2]. Было обнаружено, что в случае использования первого метода наряду с пеганолом образуется 6-бромпеганол (**2b**) — продукт бромирования ароматического кольца дезоксипеганина.



Соединения **2a** и **2b** можно отнести к циклическим псевдоосновным гетероциклическим соединениям. Для таких систем, например для изохинолинового псевдоосновного алкалоида котарнина, характерно существование как циклической (изохинолиновой), так и цепной (*o*-β-аминоальдегидной) формы, которые реагируют с соединениями с активированной метиленовой (метильной) группой в виде того или иного таутомера [3, 4].

По известным литературным данным для этих соединений предложены циклические изомеры **2a** и **2b**, хотя, как и в случае котарнина, они могут существовать в виде цепной структуры, т.е. в альдегидной форме (**3a**, **3b**). С целью получения того или иного таутомера мы провели более тщательные исследования по бромированию дезоксипеганина N-бромсукцинидом в различных условиях. Однако в большинстве случаев была получена смесь **2a** с **2b**. Для разделения их в индивидуальном виде мы провели перекристаллизацию смеси с использованием

\* E-mail: rentgen@uzsci.net

различных растворителей или их смесей (бензол, метанол, хлороформ, смесь хлороформ—метанол 2:1 и др.). Однако этот подход не позволяет получить вещества в индивидуальном виде.

Изучение кристаллической структуры полученных выше монокристаллов показало, что они являются смешанными кристаллами. Изменение концентрации смеси (**2а:2б**) путем добавления в их раствор отдельных компонентов привело к получению кристаллов с разными точками плавления [ 5 ]. В настоящей работе обсуждаются результаты структурного исследования смешанных кристаллов — твердого раствора системы пеганол—бромпеганол.

### ЭКСПЕРИМЕНТАЛЬНАЯ ЧАСТЬ

**Синтез** продуктов системы пеганол—бромпеганол осуществлен из дезоксипеганина взаимодействием с N-бромусукцинимидом с последующей обработкой едким натром. К раствору 2 г (176 ммоль) дезоксипеганина **1** в 200 мл хлороформа добавили 2 г (116 ммоль) N-бромусукцинимида порциями при перемешивании. Реакционную смесь перемешивали при комнатной температуре 6 ч, затем перенесли в делительную воронку емкостью 500 мл, добавили 100 мл 5%-го раствора KOH, взбалтывали в течение 5—10 мин. При стоянии выделяются два слоя. Хлороформную часть отделили, промыли 3 раза водой, отделили органический слой, сушили над  $\text{Na}_2\text{SO}_4$ . После отгонки хлороформа остаток растворили в смеси хлороформ—метанол 2:1 (6 мл) и выращивали монокристаллы.  $T_{\text{пл}} = 145—146^\circ\text{C}$  (смесь 0,28:0,72).

**Пеганол (2а).** Водный раствор (10 %) 2,1 г (10 ммоль) гидрохлорида дезоксипеганина помещали в трехгорлую колбу объемом 50 мл, снабженную обратным холодильником и двумя капельными воронками. При перемешивании прибавляли по каплям из первой воронки 5%-й раствор перманганата калия, а из второй — 10%-й раствор серной кислоты с такой скоростью, чтобы pH реакционной смеси был 2—3. Для этого потребовалось 2 ч. После окончания реакций добавляли 5%-й раствор NaOH до щелочной среды. Выпавшие кристаллы отделили, промыли водой до нейтральной реакции промывных вод, сушили на воздухе. Перекристаллизация из метанола дает 0,87 г (46 %) пеганола с  $T_{\text{пл}} = 179—180^\circ\text{C}$ , что соответствует литературным данным [ 2 ].

**6-Бромпеганол (2б).** К раствору 2 г (11,6 ммоль) дезоксипеганина в 200 мл хлороформа при перемешивании порциям добавляли 8 г (45 ммоль) N-бромусукцинимида. Реакционную смесь перемешивали в течение 6 ч при 20—22 °C. Смесь перенесли в делительную воронку, добавили 100 мл 5%-го раствора KOH, взбалтывали. Органический слой отделили, промыли водой по 100 мл (трижды), сушили над  $\text{MgSO}_4$ . После отгонки растворителя остаток перекристаллизовали из бензола. Выход **2б** составляет 1,1 г (3 %). Монокристаллы выращивали из смеси ацетон—хлороформ 2:1,  $T_{\text{пл}} = 160—165^\circ\text{C}$ .

Индивидуальный пеганол получен по методике [ 2 ], а бромпеганол по — [ 6 ]. Температуру плавления кристаллов определили на приборе Boetius. Кристаллы пеганола (**000**) (фаза чистого пеганола) имеют  $T_{\text{пл}} = 155—157^\circ\text{C}$ , а кристаллы чистого бромпеганола (**100**) — 190 °C. Однако  $T_{\text{пл}}$  смешанных кристаллов находится ниже. Так, кристаллы **028** имеют  $T_{\text{пл}} = 145—146^\circ\text{C}$ , со структурой **068** —  $T_{\text{пл}} = 158—160^\circ\text{C}$ , а фазы со структурой **090** — 143—145 °C.

Анализ продуктов реакции проведен на хроматографической пластинке "Sorbfil" АФ-В-УФ. В качестве элюента использовали хлороформ:метанол 2:0, ацетон:гексан 5:2,2. Пластиинки сканировали на приборе Scanner-3 CAMAG (Switzerland) на длине волн 270 нм.

**Рентгеноструктурный эксперимент.** Использованные в эксперименте кристаллы твердого раствора пеганола и бромпеганола были выращены из раствора этанола. Параметры элементарной ячейки кристаллов определены и уточнены на дифрактометре Stoe Stadi-4 ( $T = 300\text{ K}$ , графитовый монохроматор). В таблице приведены основные параметры рентгеноструктурного эксперимента и расчетов. Трехмерный набор отражений получен на том же дифрактометре  $\omega/2\theta$ -методом сканирования с использованием  $\text{MoK}_{\alpha}$ -излучения. Поправку на поглощение не вводили.

Структуры расшифрованы прямым методом в рамках комплекса программ SHELXS-97. Расчеты по уточнению структур выполнены по программе SHELXL-97. Все неводородные атомы уточнены методом наименьших квадратов (МНК) по  $F^2$  в полноматричном анизотропном приближении. Положения атомов водорода выявлены геометрически и уточнены с фиксиро-

*Основные кристаллографические параметры и характеристики рентгеноструктурного эксперимента для структур **000**—**100***

Параметр	<b>000</b>	<b>028</b>	<b>068</b>	<b>090</b>	<b>100</b> [ 6 ]*
Молекулярная формула	C <sub>11</sub> H <sub>12</sub> N <sub>2</sub> O	C <sub>11</sub> H <sub>11,72</sub> N <sub>2</sub> OBr <sub>0,28</sub>	C <sub>11</sub> H <sub>11,32</sub> N <sub>2</sub> OBr <sub>0,68</sub>	C <sub>11</sub> H <sub>11,10</sub> N <sub>2</sub> OBr <sub>0,90</sub>	C <sub>11</sub> H <sub>11</sub> N <sub>2</sub> OBr
<i>M</i> , г/мол <sup>-1</sup>	188,22	211,00	241,16	260,54	267,13
Пространственная группа, <i>Z</i>	<i>P</i> -1, 4	<i>P</i> 2 <sub>1</sub> / <i>n</i> , 4	<i>P</i> 2 <sub>1</sub> / <i>n</i> , 4	<i>Pbcn</i> , 8	<i>P</i> 2 <sub>1</sub> / <i>n</i> , 4
<i>a</i> , Å	7,819(6)	8,227(2)	7,995(2)	15,607(3)	8,040(8)
<i>b</i> , Å	7,740(8)	11,779(2)	15,501(3)	10,175(2)	15,565(4)
<i>c</i> , Å	15,866(10)	10,155(2)	8,8160(2)	13,332(3)	8,897(2)
$\alpha$ , град.	91,03(7)	90	90	90	90
$\beta$ , град.	100,41(6)	98,02(3)	112,25(3)	90	113,07(3)
$\gamma$ , град.	90,45(7)	90	90	90	90
<i>V</i> , Å <sup>3</sup>	944,2(14)	974,5(3)	1011,2(4)	2117,1(7)	1024,3
$\rho$ , г/см <sup>3</sup>	1,324	1,438	1,584	1,635	1,732
Размеры крист., мм	0,75×0,55×0,45	1,00×0,50×0,40	0,50×0,25×0,10	0,50×0,20×0,20	—
Область сканирования	2,6 ≤ $\theta$ ≤ 25,0	2,7 ≤ $\theta$ ≤ 25,0	2,6 ≤ $\theta$ ≤ 20,0	2,4 ≤ $\theta$ ≤ 25,03	—
2 $\theta$ , град.					
$\mu_{\text{exp}}$ , см <sup>-1</sup>	0,087	1,254	2,751	3,526	—
Число отражений	3315	1718	941	1865	1992
Число отражений с $I > 2\sigma(I)$	2661	1176	706	824	1727
<i>R</i> 1 ( $I > 2\sigma(I)$ и общее)	0,0807 (0,0997)	0,0501 (0,0864)	0,0978 (0,1312)	0,1136 (0,1745)	0,0421 (0,0513)
<i>wR</i> 2	0,2275 (0,2445)	0,1042 (0,1187)	0,1885 (0,2041)	0,1654 (0,1902)	—
GOOF	1,092	1,107	1,270	1,181	—
Разностные пики ЭП	0,27 и -0,25 e·Å <sup>3</sup>	0,22 и -0,16 e·Å <sup>3</sup>	0,38 и -0,37 e·Å <sup>3</sup>	0,52 и -0,45 e·Å <sup>3</sup>	—

\* Для структуры **100** пространственная группа (параметры ячейки) трансформирована из *P*2<sub>1</sub>/*c* [ 6 ] на *P*2<sub>1</sub>/*n*.

ванными параметрами изотропного смещения  $U_{\text{iso}} = nU_{\text{eq}}$ , где  $n = 1,5$  для метильных групп и 1,2 для остальных, а  $U_{\text{eq}}$  — эквивалентный изотропный параметр смещения соответствующих атомов углерода. В структурах водородный атом гидроксильных групп найден из разностного синтеза электронной плотности, кроме атома Br с занятостью 0,281, проявляется и положение атома H при C6.

При уточнении структур МНК варьировали занятость позиции атома Br. Этой величине соответствует концентрация молекулы бромпеганола в смешанных кристаллах. Для структур **028**, **068** и **090** получены величины занятости позиции 0,281(3), 0,682(8) и 0,905(7) соответственно с минимальными значениями фактора расходимости. В структуре **028** в разностном синтезе электронной плотности, кроме атома Br с занятостью 0,281, проявляется и положение атома H при C6.

Материалы рентгеноструктурного анализа в виде CIF файла депонированы в Кембриджском центре кристаллоструктурных данных (CCDC 603899—603902).

### ОБСУЖДЕНИЕ РЕЗУЛЬТАТОВ

Твердые растворы (смешанные кристаллы) системы пеганол—бромпеганол обнаружены только в трех фазовых состояниях при множестве вариаций концентрации смеси в растворе. Одна из найденных фаз совпадает с фазой "чистого" бромпеганола (**100**), обнаружена также фаза "чистого" пеганола (**000**). Диаграмма состояния с непрерывной растворимостью в органических молекулярных системах — большая редкость, поскольку для их образования, кроме геометрического подобия молекул, нужен изоморфизм кристаллических структур [ 7 ].

Первую фазу обнаружили в кристаллах, полученных в результате перекристаллизации продуктов синтеза бромпеганола (бромирование дезоксипеганина N-бромусукцинимидом). В этих кристаллах обнаружена 28%-я смесь бромпеганола (**028**). Теоретически кристаллы первой фазы могут образоваться из молекул пеганола с примесью бромпеганола от 0 до 50 %, что вытекает из анализа кристаллической структуры (упаковки молекул) (см. ниже).

Вторая фаза получена в результате добавления в раствор первой фазы (в продукт 28%-й смеси бромпеганола) чистого бромпеганола. Кристаллы со смесью 68%-го бромпеганола (**068**) являются примером второго фазового состояния, и по параметрам ячейки оно близко к фазе "чистого" бромпеганола (**100**) [ 6 ]. Следовательно, теоретически такая фаза может образоваться при концентрации примеси молекул бромпеганола от >50 до 100 %. Однако при попытке получения промежуточной (80%-й) концентрации **2a:2b** обнаружено новое третье фазовое состояние, где в кристалле участвует 90 % бромпеганола и 10 % молекул пеганола (**090**). Кроме того, установлено строение еще и четвертой фазы — "чистого" пеганола (**000**), которая отличается от других кристаллической структурой.

Вышесказанное вытекает из анализа изменений параметров элементарной ячейки и пространственной группы исследованных кристаллов (см. таблицу) и доказывается детальным анализом их кристаллической структуры (упаковки молекул) (см. ниже).

**Структура 028** смешанного кристалла в проекции  $xy\bar{0}$  с указанием нумерации ключевых атомов показана на рис. 2, *a*. Неожиданное обнаружение в **028** молекул Br-пеганола вынуждало в начале весьма осторожно относиться к интерпретации рентгеноструктурных результатов. Поэтому на конечных этапах уточнения МНК структуры **028** независимо проведена высокоэффективная тонкослойная хроматография изученного монокристалла. Тонкослойная хроматография подтвердила наличие примеси слабым раздвоением пика с разной высотой (рис. 1). Далее проведенное уточнение МНК позиционного параметра атома Br позволило определить концентрацию молекул смеси в твердом растворе **028** (такой подход применен и при уточнении структур **068** и **090**).

В кристалле **028** две (возможно разные) молекулы, преобразованные центром симметрии, благодаря "встречным" Н-связям O—H...N(1) образуют димер. Параметры этой Н-связи следующие: расстояние O...N(1) равно 2,82 Å, O—H...N(1) 1,83 Å и угол O—H...N(1) 172°. Эти

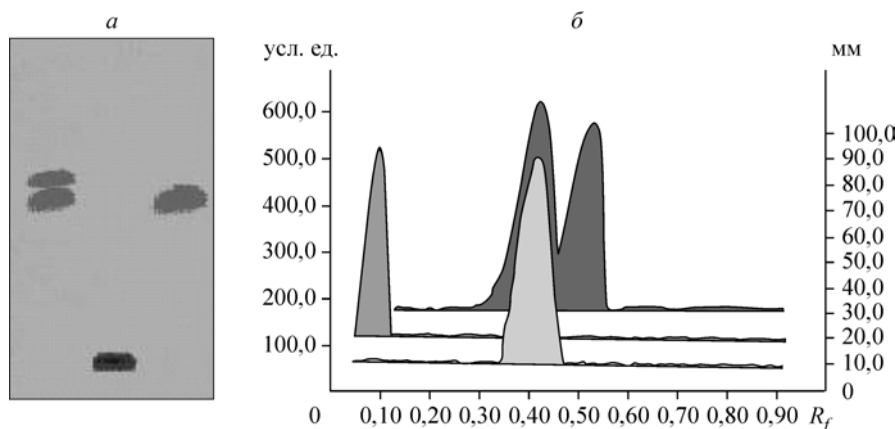


Рис. 1. Высокоэффективная тонкослойная хроматограмма (*a*: слева — смешанный кристалл **028**, в центре (внизу) — дезоксипеганин, справа — пеганол) и результаты его сканирования (*b*)

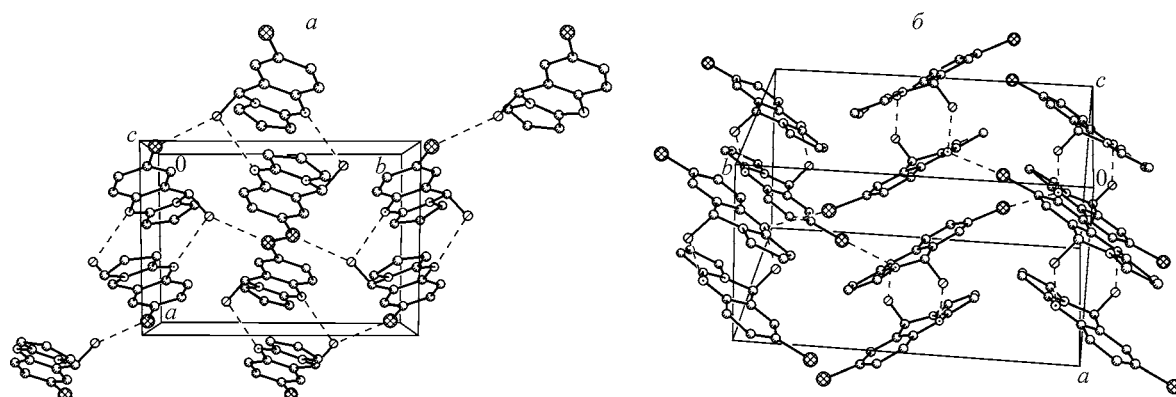


Рис. 2. Упаковка молекул в смешанных кристаллах 028 (а) и 068 (б)

димеры, преобразованные винтовой осью симметрии вдоль оси *b* и вдоль плоскости скользящего отражения, образуют двумерную сетку в плоскости *xy*0 за счет взаимодействия Br...O(1) (3,21 Å). Однако это взаимодействие слабое и статистически разупорядочено, поскольку занятость положения атома Br молекулы примеси (бромпеганола) равна 0,28. В упаковке обнаружено также аномально короткое расстояние Br...Br 2,641 Å со статистикой 0,28 (показано на рис. 2, а в центре ячейки). Фактически такой укороченной связи в упаковке не существует, ее исключает чередование позиций атома Br со статистикой 0,28.

**Кристаллическая структура 068** второй фазы системы пеганол—бромпеганол в проекции *xy*0 показана на рис. 2, б. Изоструктурность кристаллов 068 и 100 подтверждается близостью параметров элементарной ячейки и идентичностью пространственной группы. В кристалле 068 параметры ячейки слегка укорачиваются по сравнению с таковыми наблюдаемыми в 100, следовательно, уменьшается объем ячейки, но расположение молекул в кристалле в целом сохраняется. В этом кристалле, как наблюдалось в 028 и 100, две молекулы (68 % бромпеганол и 32 % пеганол), преобразованные центром симметрии, благодаря "встречным" Н-связям O—H...N(1) (2,83 Å) образуют димер. Эти димеры, преобразованные винтовой осью симметрии вдоль оси *b* и вдоль плоскости скользящего отражения, образуют двумерную сетку в плоскости *xy*0 за счет взаимодействия Br...N(1) (3,09 Å). Однако это взаимодействие слабое и статистически разупорядочено (0,68).

**Кристаллическая структура 090** — третье фазовое состояние, обнаруженное в исследуемых смешанных кристаллах, является несколько неожиданным, поскольку оно по содержанию бромпеганола находится в промежутке между структурами 068 и 100. Упаковка молекулярной смеси в кристалле (в пространственной группе *Pbcn*) показана на рис. 3, а. В кристалле две молекулы (90 % Br-пеганол и 10 % пеганол), преобразованные центром симметрии, "встречными" Н-связями O—H...N(1) (2,76 Å) образуют остов. Эти димеры, транслированные вдоль оси *b*, также связаны взаимодействиями O—H...Br (3,40 Å). В результате образуется довольно прочная бесконечная одномерная "лента" вдоль кристаллографической оси *b*.

**Кристаллическая структура 000** (фаза "чистого" пеганола) в проекции 0uz показана на рис. 3, б. Упаковка молекул в кристалле 000 (в пространственной группе *P-1*) заметно отличается от таковых, наблюдавшихся в структурах соединений 028, 068, 090 и 100, которые кристаллизуются в пространственной группе *P2<sub>1</sub>/n* и *Pbcn*, хотя параметры элементарной ячейки 000 близки к значениям, наблюдавшимся в кристаллах 100 и 068 (см. табл. 1). В кристалле 000 в независимой части элементарной ячейки участвуют две молекулы пеганола, следовательно, для этих веществ характерны два центросимметричных димера. Эти димеры в кристалле расположены условно в двух плоскостях: в плоскости молекулы, совпадающей с 0uz, и перпендикулярно к этой плоскости (угол между плоскостями двух независимых молекул равен 89,1°). Соответственно в этих димерах "встречные" Н-связи (O—H...N(1)) имеют значения 2,79 и 2,78 Å.

Таким образом, анализ кристаллической структуры пеганола, бромпеганола [6] и их смешанных кристаллов показывает, что для них характерно образование центросимметричного

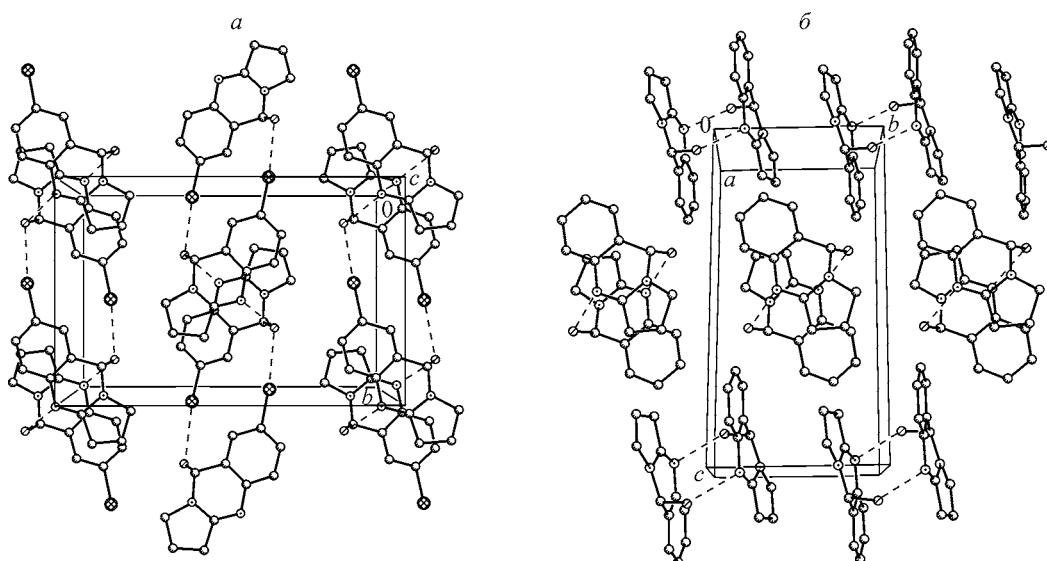


Рис. 3. Упаковка молекул в смешанных кристаллах 090 (а) и пеганоле 000 (б)

замкнутого димера, состоящего из двух (возможно разных) молекул, и формирующего димера, благодаря "встречным" центросимметричным О—Н...N(1) водородным связям. Различные упаковки этих димеров и их взаимодействия являются причиной образования наблюдаемых фазовых состояний.

**Геометрия исследованных молекул.** Молекулы пеганола и бромпеганола в исследованных кристаллических структурах в целом плоские. Среднеквадратичное отклонение атомов от плоскости, проведенной по всем атомам молекулы, исключая OH-группы и атомы C(4), равны  $\pm 0,075$  (028),  $\pm 0,060$  (068),  $\pm 0,087$  (090) и  $\pm 0,087 \text{ \AA}$  (000) соответственно. Атом кислорода гидроксильной группы и C(4) отклоняются от этой плоскости во всех молекулах в сторону образования центросимметричного димера ("встречной" Н-связи).

Обращает на себя внимание изменение расстояния C(6)—Br в смешанных кристаллах. В структуре 028 это расстояние (1,797(4)  $\text{\AA}$ ) укорочено по сравнению с наблюдаемым в бромпеганоле (100) 1,914  $\text{\AA}$  [6]. Однако по мере увеличения концентрации молекул бромпеганола в твердых растворах (в структурах 068 и 090) их значения становятся 1,836(16) и 1,875(12)  $\text{\AA}$  соответственно. Следовательно, при повышении концентрации бромпеганола в смешанном кристалле пеганол—бромпеганол в формировании реального кристалла увеличивается число разрыхленных кристаллических блоков по сравнению со скжатыми [7], что приводит к увеличению эффективной (наблюдаемой) длины связи Br—C<sub>6</sub> в сторону общепринятой величины [8].

Анализ кристаллической структуры пеганола, Br-пеганола и их смешанных кристаллов показал, что для них характерно образование центросимметричного замкнутого димера, состоящего из двух (возможно, разных) молекул. Выявлено, что различные упаковки этого димера и междимерные взаимодействия являются причиной образования наблюдаемых трех фазовых состояний смешанных кристаллов.

#### СПИСОК ЛИТЕРАТУРЫ

1. Тележенецкая М.В., Хашимов Х.Н., Юнусов С.Ю. // Химия природ. соед. – 1971. – № 6. – С. 849 – 856.
2. Тележенецкая М.В., Дьяконов А.Л., Юнусов С.Ю. // Там же. – 1989. – № 6. – С. 857 – 858.
3. Krasnov K.A., Yurova M.N., Kartsev V.J. Nitrogen containing heterocycles and alkaloids. v. 2. – M.: Jridium Press, 2001. – p. 152.
4. Krasnov K.A., Kartsev V.J., Yurova M.N. Ibid. – p. 416.
5. Turgunov K.K., Tojiboev A.J., Mukarramov N.I. et al. 6th Internat. Symp. on the Chemistry of Natural Compounds 28–29 June 2005, Ankara, Turkey. – P. 113.
6. Дьяконов А.Л., Тележенецкая М.В., Ташиходжаев Б. // Химия природ. соед. – 1992. – № 2. – С. 233 – 236.
7. Китайгородский А.И. Смешанные кристаллы. – М.: Наука, 1983.
8. Allen F.N., Kennard O., Watson G.D. // J. Chem. Soc. Perkin Trans. II. – 1987. – N 12. – P. S1 – S19.